

여수지역의 오존물질 거동 특성

박성진 · 윤형선 · 위지혜 · 임익현* · 차규석** · 서성규†

전남대학교 환경시스템공학과

*한려대학교 건설방재공학과

**광주대학교 소방행정학과

(2015년 12월 5일 접수, 2015년 12월 11일 수정, 2015년 12월 17일 채택)

Characteristics of Ozone Behavior of Yeosu Area

Seong-Jin Park · Hyung-Sun Yoon · Ji-Hye Wi

· Ik-Hyun Lim* · Kyu-Suk Cha** · Seong-Gyu Seo†

Department of Environmental System Engineering, Chonnam National University

**Department of Constructional Disaster Prevention Engineering, Hanlyo University*

***Department of Fire Service Administration, Gwangju University*

(Received 5, December 2015, Revised 11, December 2015, Accepted 17, December 2015)

Abstract

This study was carried to O₃ behavior, field investigation and O₃ sensitivity analysis in Yeosu area. The main wind direction was east wind. From NO₂ measured results, the highest growth rate was found to be about 5% at the Y-2 point in 2013, it is found to be about 17% at Y-3 and Y-4 points in 2014. From O₃ measured results, the highest growth rate was shown by about 24% at Y-12 point in 2013 and it is appeared to be about 14% at Y-1 point in 2014. The O₃ sensitivity showed in the order of Suncheon > Yeosu > Gwangyang.

Keywords : O₃(Ozone), NO₂, Yeosu area, Sensitivity, Behavior

1. 서론

질소산화물(NO_x)과 휘발성 유기화합물(VOCs)은 광화학 반응으로 오존(O₃)을 생성하며, 또 다른 대기오염을 유발시킨다¹⁾. 이러한 생성 메커니즘은 지역별, 환경별 특성에 따라서 서로 다른 특징을 나타내기 때문에 대기 중의 농도를 감소시키기 위한 대책마련이 어려운 현실이다²⁾. 한편, 정부에서는 환경정책기본법 제38조에 따라 1996년에 여수국가산단을 대기보전특별대책지역으로 지정하였고,

1999년에 대기환경규제지역으로 광양만권(여수, 광양, 순천, 경상남도 하동군 하동화력발전소 부지)을 지정하였으며, 해당 지역의 저감 대책으로 광양만권역 대기환경개선 실천계획을 2013년에 개정·고시하였다³⁾. 주된 관리물질은 오존(O₃), 부수적 관리물질은 VOCs, NO₂로 설정하여 오존농도를 0.08 ppm(1시간 평균치)으로 고시일부터 2020년 12월 31일까지 목표를 달성 한다고 제시하였으며, 실천계획의 주요 내용으로는 대기환경 관리체계의 기반 구축, 자동차 관리대책, 교

†Corresponding author E-mail: sseo@jnu.ac.kr

통수요 관리대책, 기타 이동오염원 관리대책, 배출시설 관리대책, VOCs 관리강화, 기타 배출원 관리대책 등 크게 7가지로 구분되어 있다⁴⁾. 따라서 이러한 실천계획에 대해 보다 정확한 근거 자료제시를 위해 기상자료와 2013년부터 2014년까지의 현장에서 측정한 농도결과를 비교 하고⁵⁾, NO₂와 O₃의 농도별 전년대비 증가율을 분석하여 오염도 변화를 파악하고자 한다. 또한 여수 지역의 O₃ 생성에 대한 구체적인 영향을 고찰하고자 NO₂농도의 전년대비 증가율에 대한 O₃ 민감도를 검토하였다. 이러한 과정을 통하여 여수지역의 O₃ 거동특성을 파악하고 광화학기체물질의 저감 및 관리를 위한 기초 자료를 제공하고자 한다.

2. 연구방법

2.1. 실측조사

대기환경 현황조사의 경우는 2013년 11월~2014년 10월까지의 조사기간 동안 약 2개월 간격으로 조사하였다. NO₂와 O₃농도 대한 오염도 변화를 파악하기 위한 실측지역은 여수 산단을 중심으로 대조지역을 포함하여 총 14개 지점(산단지역, 인근지역, 대조지역)을 선정하였으며, 각 지점의 GPS 좌표를 Table. 1에 표시하였다. 기상자료 분석에 필요한 풍향 및 풍속은 여수시 고소동에 위치한 여수기상대의 기상자료를 이용하였다.

2.2. 분석방법

여수산단 주변지역의 대기질 측정 방법은 대기오염 공정시험기준의 환경기준 시험방법 중 NO₂는 수동살츠만법, O₃은 알칼리성 요오드화 칼륨법으로 실시하였다.

2.3. 오존민감도 해석

광양만권지역(여수:1989년~2013년, 순천 및 광양:1996년~2013년)의 환경부 자동측정망 연

Table 1. Air sampling sites in Yeosu area

Site	GPS
Y-1	34° 48'40.2"N 127° 43'59.1"E
Y-2	34° 49'14.6"N 127° 46'08.3"E
Y-3	34° 49'27.1"N 127° 44'09.9"E
Y-4	34° 52'19.2"N 127° 42'43.6"E
Y-5	34° 53'20.4"N 127° 43'45.5"E
Y-6	34° 50'20.9"N 127° 43'06.7"E
Y-7	34° 49'11.8"N 127° 41'38.0"E
Y-8	34° 47'02.1"N 127° 40'05.5"E
Y-9	34° 47'56.4"N 127° 38'34.9"E
Y-10	34° 50'28.7"N 127° 37'39.0"E
Y-11	34° 48'35.7"N 127° 37'54.0"E
Y-12	34° 47'13.5"N 127° 39'16.3"E
Y-13	34° 49'06.8"N 127° 38'00.9"E
Y-14	34° 49'35.3"N 127° 37'48.7"E
Y-15	34° 48'26.3"N 127° 37'17.6"E
C-1	34° 44'37.7"N 127° 35'12.6"E
C-2	34° 41'20.9"N 127° 35'29.4"E
C-3	34° 48'58.4"N 127° 15'55.4"E

도별 광화학기체물질(NO₂, O₃) 농도 자료를 조사하고⁶⁾ 이를 활용하여 O₃민감도 분석을⁷⁾ 실시하였다. O₃민감도 분석은 NO₂ 농도 전년대비 증가율과 O₃농도 전년대비 증가율로 나누어 값으로 표현하였으며, 계산식은 다음과 같다. 한편 VOCs가 포함된 오존생성 메카니즘은 Fig. 1과 같다¹⁾.

$$S_{NOx} = \frac{\Delta C_{O_3}}{\Delta E_{NOx}} \frac{1}{C_{O_3}}$$

S_{NOx} : NOx 증가율에 대한 오존 민감도

ΔE_{NOx} : NOx 전년대비 증가율

ΔC_{O3} : O₃ 전년대비 증가율

C_{O3} : O₃ 농도

3. 결과 및 고찰

3.1. 여수지역의 바람장미도

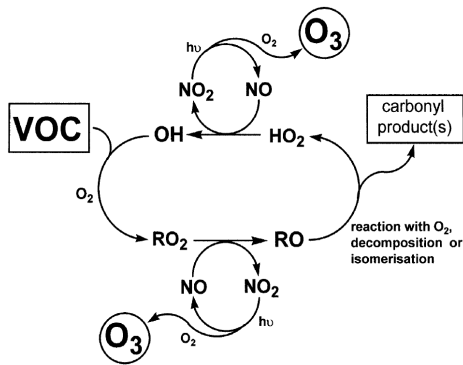


Fig. 1. Schematic representation of the free radical catalyzed oxidation of a VOC into its first generation carbonyl product(s) in the presence of NOx and the associated generation of ozone(O₃).

여수시 고소동에 위치한 여수기상대에서 2014년 연구기간(2013년 11월 1일~2014년 10월 31일) 동안 관측된 풍향 및 풍속의 결과를 바탕으로 생성한 바람장미도를 Fig. 2에 나타내었다. 2014년 여수기상대는 동(E)풍의 출현빈도가 가장 높아 주풍향은 동(E)풍으로 나타났고, 동북동(ENE) 및 북북서(NNW) 계열 바람의 출현빈도 또한 높게 관측되었다. 그러나 남(S)풍 및 남남동(SSE)풍, 남남서(SSW), 북북동(NNE), 북동(NE)풍 계열 바람의 출현빈도는 상대적으로 낮게 분석되었다. 이러한 이유는 계절풍 영향을 받는 우리나라의 지리적 특성으로 인해 봄 시기는 북북서(NNW)풍과 동(E)풍 및 동북동(ENE)풍의 출현빈도가 높고, 가을 시기는 동(E)풍 및 동북동(ENE)풍의 출현빈도가 높는데 기인한다. 또한, 여수지역에서 여름철 주로 관측되는 남(S)과 북동(NE) 계열 바람이 약한 것은 그 원인으로 판단된다.

3.2. NO₂의 농도별 전년대비 변화

Fig. 3은 NO₂ 전년대비 증감율을 측정 지점 별로 나타낸 것이다. 2013년도 NO₂의 전년대비 증감율이 증가한 지점은 Y-2, Y-5, Y-7, Y-8, Y-10, Y-11, Y-12 이며, 가장 높은 증감

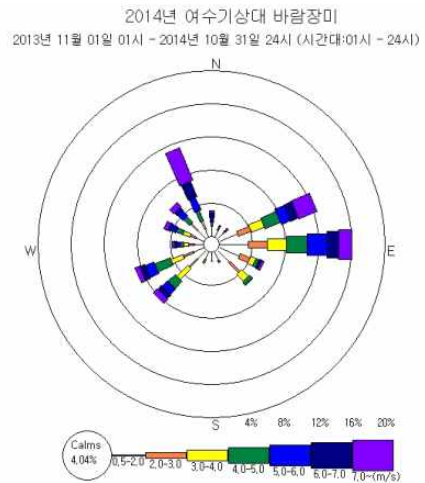


Fig. 2. Wind rose in Yeosu(2014).

율을 보이는 지점은 Y-2 로서 약 5% 증가한 것으로 나타나고 있다. 2014년도에 NO₂의 전년대비 증감율은 대부분 감소하였으나, 일부 지점(Y-13, Y-15)에서 증가하는 경향을 보였으며, Y-3, Y-4 지점에서 약 17%로 가장 높은 감소율을 보이고 있다.

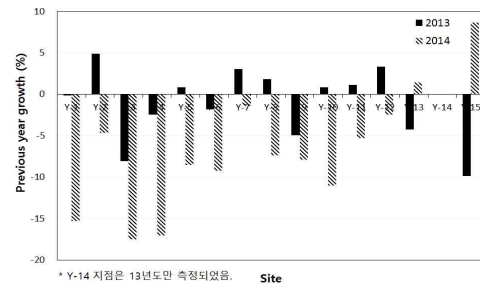


Fig. 3. Concentration ratio(NO₂) to previous year in Yeosu.

3.3. O₃의 농도별 전년대비 변화

Fig. 4는 O₃ 전년대비 증감율을 측정 지점 별로 나타낸 것이다. 2013년도 O₃의 전년대비 증감율이 증가한 지점은 Y-1, Y-2, Y-3, Y-8, Y-12, Y-13 이며, 가장 높은 증감율을 보이는 지점은 Y-12로서 약 24% 증가한 것으로 나타나고 있다. 반면, 가장 낮은 증감율을 보이는

지점은 Y-7로서 약 25% 감소한 것으로 나타나고 있다. 2014년도 O₃의 전년대비 증감율이 증가한 지점은 Y-1, Y-2, Y-5, Y-8, Y-10, Y-12, Y-13, Y-15이며, 가장 높은 증감율을 보이는 지점은 Y-1로서 약 14%를 나타내고 있다.

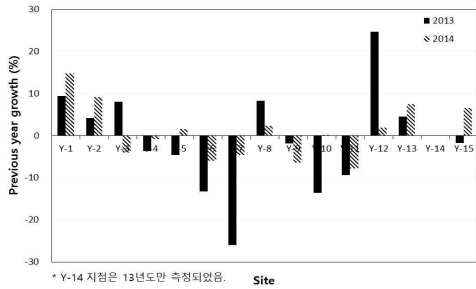


Fig. 4. Concentration ratio(O₃) to previous year in Yeosu.

3.4. 오존민감도 분석

여수, 순천 및 광양지역에서 NO₂의 전년대비 증가율을 고려하여 O₃민감도를 분석한 결과를 Fig. 5와 Table 2에 나타내었다. O₃ 민감도가 가장 높은 지역은 순천으로 나타났으며, 지역별 O₃ 민감도를 비교하면 순천 > 여수 > 광양 순서로 나타났다. 이러한 결과는 여수지역에서 발생된 광화학기체물질이 국지기상 및 풍향 등의 다양한 환경조건에 의해서 인근지역인 순천 및 광양으로 이동되어 O₃생성에 기여한 것으로 판단된다. 따라서 광화학기체물질이 가장 많이 발생하는 지역뿐만 아니라 인근 지역까지도 O₃발생 가능성이 있다는 것을 보여주는 결과로 판단된다.

4. 결론

여수 지역의 광화학기체물질인 O₃에 대한 오염정도를 비교하기 위해 실측조사와 각 지역의 NO₂의 전년대비 증감율을 통한 O₃ 민감도를 분석하여 O₃ 거동 특성을 파악한 결과, 다음과 같은 결론을 얻었다.

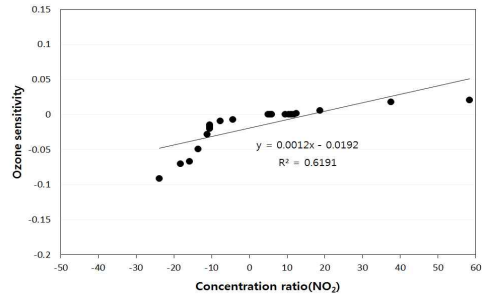


Fig. 5. Ozone sensitivity and the concentration ratio(NO₂) to previous year Yeosu(1989~2013).

Table 2. Ozone sensitivity and the concentration ratio(NO₂) to previous year at Gwangyang bay area

Area	Slope	R ²	
		(Coefficient of determination)	Period
Yeosu	0.0012	0.6191	1989-2013
Suncheon	0.0020	0.7113	1996-2013
Gwangyang	0.0010	0.7095	1996-2013

- 1) 2014년 여수기상대는 동(E)풍의 출현빈도가 가장 높아 주풍향은 동(E)풍으로 나타났고, 동북동(ENE) 및 북북서(NNW) 계열의 바람 출현빈도 또한 높게 관측되었다.
- 2) 현지조사의 NO₂, O₃ 농도의 전년대비 증감율을 보면, NO₂의 경우, 2013년도에 가장 높은 증감율을 보인 지점은 Y-2로서 약 5% 증가한 것으로 나타나고 있으며, 2014년도에는 Y-3, Y-4 지점에서 약 17%로 가장 높은 감소율을 보이고 있다. O₃의 경우, 2013년도에 가장 높은 증감율을 보이는 지점은 Y-12로서 약 24% 증가한 것으로 나타나고 있다. 2014년도에 가장 높은 증감율을 나타낸 지점은 Y-1로서 약 14%를 나타내고 있다.
- 3) O₃ 민감도가 가장 높은 지역은 순천으로 나타났다. 지역별 오존 민감도를 비교하면 순천 > 여수 > 광양 순서로 나타

났다. 따라서 광화학기체물질이 가장 많이 발생하는 지역뿐만 아니라 인근 지역까지도 O₃발생 가능성이 있다는 것을 보여주는 결과로 판단된다.

사 사

본 연구과제는 환경부지정 전남녹색환경지원센터의 연구비지원에 의해 수행된 연구과제입니다.

References

1. Michael. E Jenkin, Garry. D Hayman (1999), Photochemical ozone creation potentials for oxygenated volatile organic compounds : sensitivity to variations in kinetic and mechanistic parameters, Atmospheric Environment, 33(8), pp. 1275-1293.
2. 손장호, 송상근, 이강웅(2010), 2009년 봄, 여름철 광양만 지역 오존의 광화학적 특성 분석, 한국대기환경학회지, 26(2), pp. 161-176.
3. 광양만권역 대기환경개선 실천계획 고시 개정(2013), 환경부 고시 제2013-78호.
4. 법제처(2013), 광양만권역 대기환경개선 실천계획.
5. 박성진(2015), 석유화학산단 주변 지역의 대기중 광화학기체물질 거동 특성, 전남대학교 공학석사논문.
6. 환경부(2014), 2013년 대기환경연보.
7. 이광연, 곽경환, 박승부 백종진(2013), 도로 협곡에서 NO_x와 VOCs에 대한 오존의 민감도, 한국대기환경학회지, 29(3), pp. 307-316.